

# OIKONOMETRIA

Θεωρία: 06

Βιολέττα Δάλλα

Τμήμα Οικονομικών Επιστημών

Εθνικό και Καποδιστριακό Πανεπιστήμιο Αθηνών



## Βασικές υποθέσεις Α.1-Α.4

**A.1**  $Y = X\beta + u$  είναι το σωστό υπόδειγμα και  $E(u) = 0$  ή

$Y_t = \beta_0 + \beta_1 X_{t1} + \dots + \beta_K X_{tK} + u_t, t = 1, \dots, T$ , είναι το σωστό υπόδειγμα και  $E(u_t) = 0, t = 1, \dots, T$ .

**A.2**  $X$  είναι πλήρους βαθμού με πιθανότητα 1 και  $T > K + 1$  ή

δεν υπάρχουν ακριβής γραμμικές σχέσεις μεταξύ των  $X_1, \dots, X_K$  με πιθανότητα 1 και  $T > K + 1$ .

**A.3**  $X$  και  $u$  είναι ανεξάρτητα ή

$X_{tj}$  και  $u_s$  είναι ανεξάρτητα,  $t, s = 1, \dots, T, j = 1, \dots, K$ .

**A.3'**  $X$  και  $u$  είναι ταυτόχρονα ασυσχέτιστα ή

$X_{tj}$  και  $u_t$  είναι ασυσχέτιστα  $t = 1, \dots, T, j = 1, \dots, K$ .

**A.4** Ισχύει ότι  $V(u|X) = \sigma^2 I$  ή

ισχύει ότι  $V(u_t|X) = \sigma^2, t = 1, \dots, T$  και  $Cov(u_t, u_s|X) = 0, t, s = 1, \dots, T, t \neq s$ .

## Ετεροσκεδαστικότητα/Αυτοσυσχέτιση

Υπόδειγμα παλινδρόμησης:

$$Y = X\beta + u \quad \text{ή} \quad Y_t = \beta_0 + \beta_1 X_{t1} + \dots + \beta_K X_{tK} + u_t, t = 1, \dots, T$$

Στο υπόδειγμα παλινδρόμησης γίνεται η υπόθεση A.4:

Ομοσκεδαστικότητα και όχι αυτοσυσχέτιση

**A.4** Ισχύει ότι  $V(u) = \sigma^2 I$  ή

Ισχύει ότι  $V(u_t) = \sigma^2, t = 1, \dots, T$  και  $Cov(u_t, u_s) = 0, t, s = 1, \dots, T, t \neq s$ .

Ορισμός: Ο πίνακας διακυμάνσεων-συνδιακυμάνσεων των σφαλμάτων  $u = (u_1, \dots, u_T)'$

$$V(u) = \begin{pmatrix} V(u_1) & Cov(u_1, u_2) & \cdots & \cdots & Cov(u_1, u_T) \\ Cov(u_1, u_2) & V(u_2) & \ddots & & \vdots \\ \vdots & \ddots & \ddots & \ddots & \vdots \\ \vdots & & \ddots & V(u_{T-1}) & Cov(u_{T-1}, u_T) \\ Cov(u_1, u_T) & \cdots & \cdots & Cov(u_{T-1}, u_T) & V(u_T) \end{pmatrix}$$

## Ετεροσκεδαστικότητα

- Αν η διακύμανση των σφαλμάτων είναι σταθερή για όλες τις παρατηρήσεις,  $V(u_t) = \sigma^2$  για κάθε  $t = 1, \dots, T$ , τότε υπάρχει ομοσκεδαστικότητα (homoskedasticity).
- Αν η διακύμανση των σφαλμάτων δεν είναι σταθερή για όλες τις παρατηρήσεις,  $V(u_t) = \sigma_t^2 \neq \sigma^2$  για κάποια  $t = 1, \dots, T$ , τότε υπάρχει ετεροσκεδαστικότητα (heteroskedasticity).

π.χ. Υπόδειγμα παλινδρόμησης με  $K = 1$ :

$$Y_t = \beta_0 + \beta_1 X_t + u_t$$

(i)  $V(u_t) = \alpha_0 + \alpha_1 |X_t|, t = 1, \dots, T \Rightarrow V(u_t) \neq \sigma^2, t = 1, \dots, T$

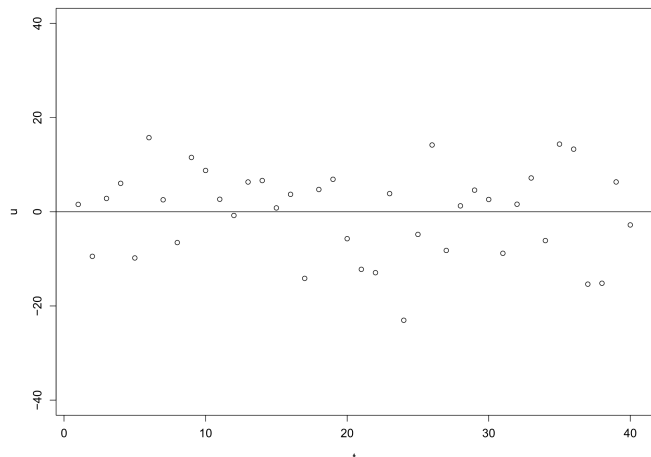
(ii)  $V(u_t) = \begin{cases} \sigma_1^2, & \text{αν } t = 1, \dots, T^* \\ \sigma_2^2, & \text{αν } t = T^* + 1, \dots, T \end{cases}$  με  $\sigma_1^2 \neq \sigma_2^2 \Rightarrow V(u_t) \neq \sigma^2, t = 1, \dots, T$

π.χ. Υπόδειγμα παλινδρόμησης:  $Y_t = 50 + 2X_t + u_t$ ,  $t = 1, \dots, 40$

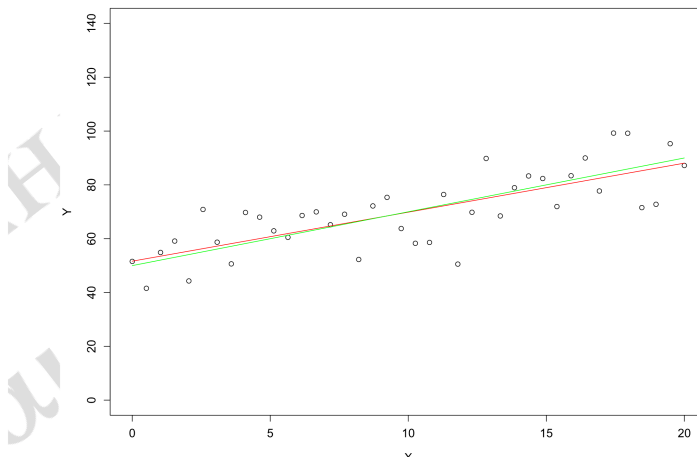
με  $V(u_t) = 100$  και  $\text{Corr}(u_t, u_s) = 0$ ,  $t, s = 1, \dots, 40$ ,  $t \neq s$

Μέθοδος εκτίμησης: OLS

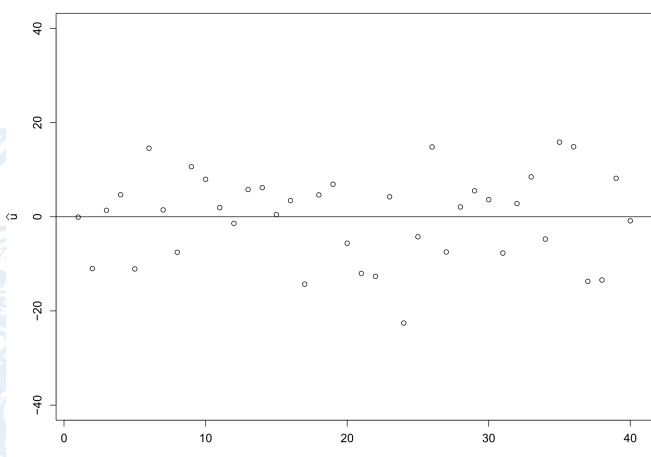
Σφάλματα



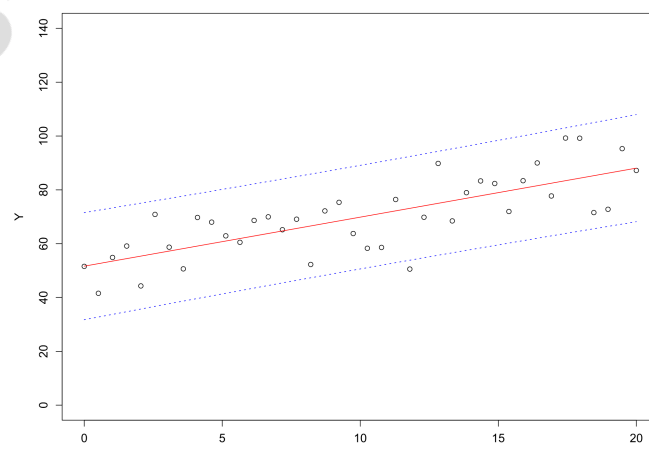
Δεδομένα, Πραγματική & Εκτιμώμενη Γραμμή



Κατάλοιπα



Δεδομένα, Πρόβλεψη & 95% Δ.Π. για  $Y$

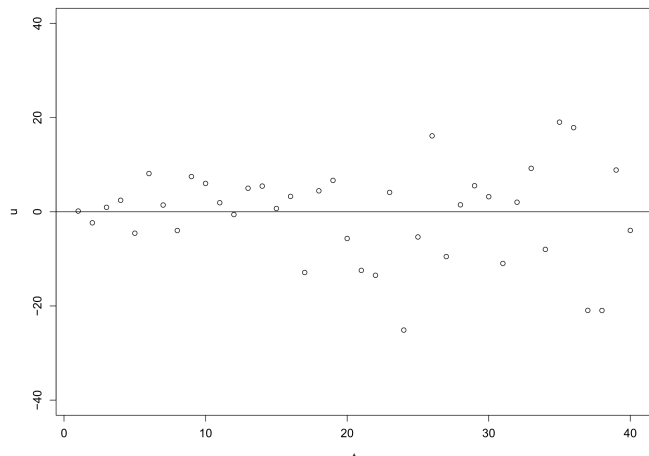


π.χ. Υπόδειγμα παλινδρόμησης:  $Y_t = 50 + 2X_t + u_t$ ,  $t = 1, \dots, 40$

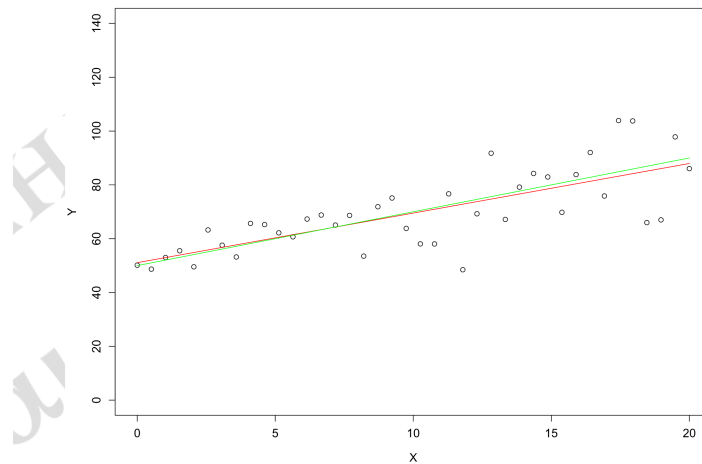
με  $V(u_t) = 1 + 10|X_t|$  και  $Corr(u_t, u_s) = 0$ ,  $t, s = 1, \dots, 40$ ,  $t \neq s$

Μέθοδος εκτίμησης: OLS

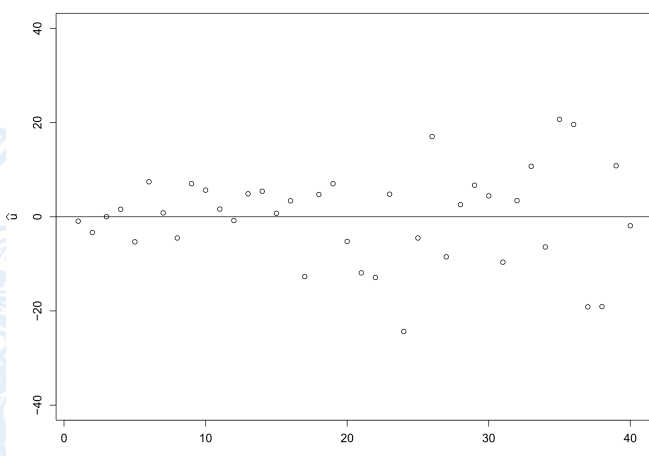
Σφάλματα



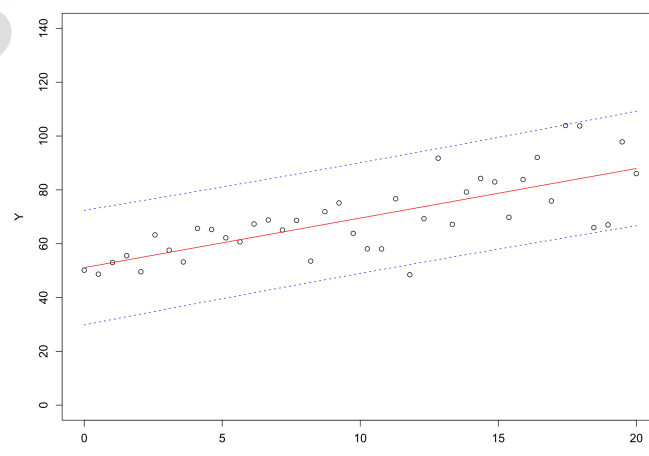
Δεδομένα, Πραγματική & Εκτιμώμενη Γραμμή



Κατάλοιπα



Δεδομένα, Πρόβλεψη & 95% Δ.Π. για Y

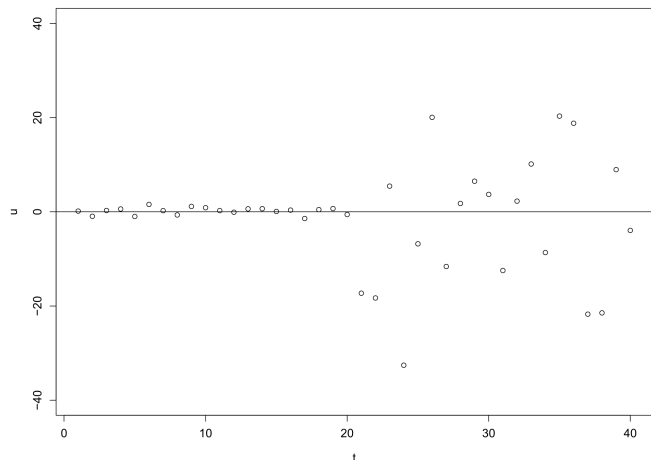


π.χ. Υπόδειγμα παλινδρόμησης:  $Y_t = 50 + 2X_t + u_t$ ,  $t = 1, \dots, 40$

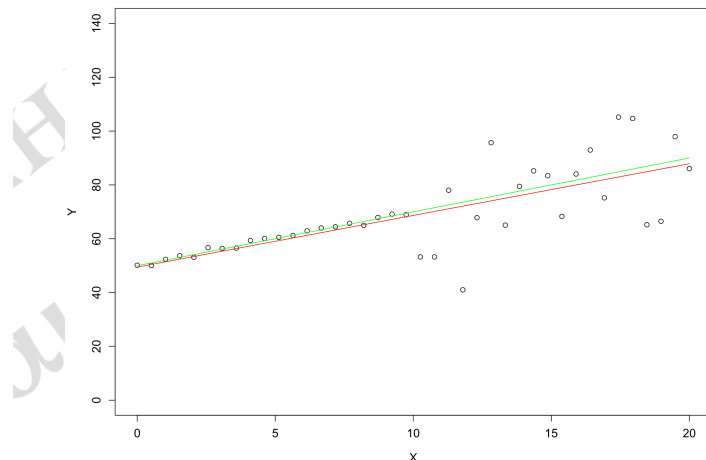
$$\text{με } V(u_t) = \begin{cases} 1, & \text{αν } t = 1, \dots, 20 \\ 200, & \text{αν } t = 21, \dots, 40 \end{cases} \quad \text{και } \text{Corr}(u_t, u_s) = 0, \forall t, s = 1, \dots, 40, t \neq s$$

Μέθοδος εκτίμησης: OLS

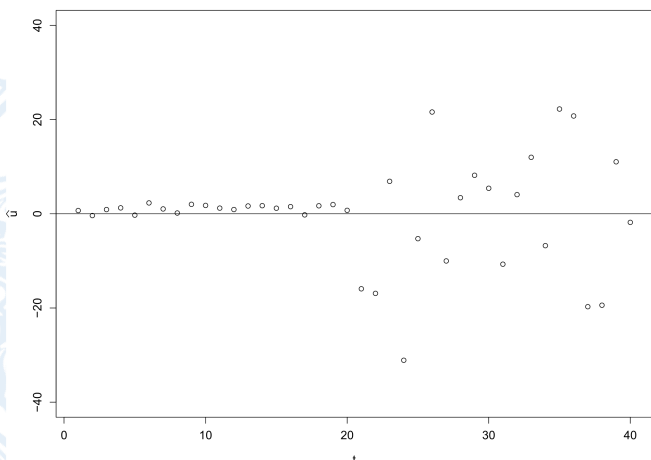
Σφάλματα



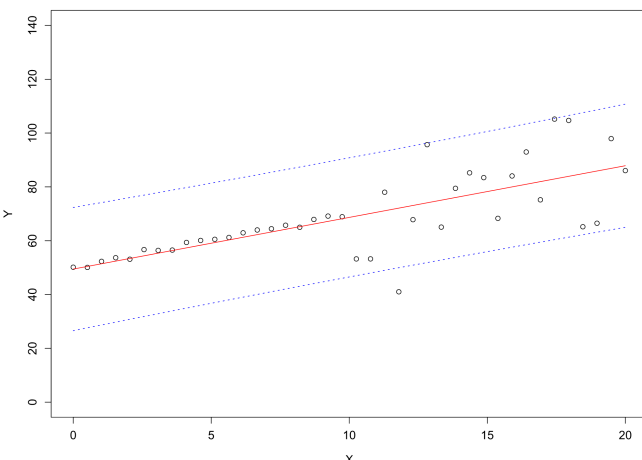
Δεδομένα, Πραγματική & Εκτιμώμενη Γραμμή



Κατάλοιπα



Δεδομένα, Πρόβλεψη & 95% Δ.Π. για Y



- Συμβολισμός για ετεροσκεδαστικότητα:  $V(u_t) = \sigma_t^2 = \sigma^2 \delta_t$  με  $\delta_t > 0$

π.χ. Υπόδειγμα παλινδρόμησης με  $K = 1$ :

$$Y_t = \beta_0 + \beta_1 X_t + u_t$$

$$(i) V(u_t) = \alpha_0 + \alpha_1 |X_t| = \sigma^2 \delta_t$$

όπου  $\sigma^2 = \alpha_0$  και  $\delta_t = 1 + \delta |X_t|$  με  $\delta = \frac{\alpha_1}{\alpha_0}$

$$(ii) V(u_t) = \begin{cases} \sigma_1^2, & \text{αν } t = 1, \dots, T^* \\ \sigma_2^2, & \text{αν } t = T^* + 1, \dots, T \end{cases} = \sigma^2 \delta_t$$

$$\text{όπου } \sigma^2 = \sigma_1^2 \text{ και } \delta_t = \begin{cases} 1, & \text{αν } t = 1, \dots, T^* \\ \sigma_2^2 / \sigma_1^2, & \text{αν } t = T^* + 1, \dots, T \end{cases}$$



## Αυτοσυσχέτιση

- Αν τα σφάλματα δεν συσχετίζονται μεταξύ τους για όλες τις παρατηρήσεις,  
 $Cov(u_t, u_s) = Corr(u_t, u_s) = 0$  για κάθε  $t, s = 1, \dots, T$ ,  $t \neq s$ , τότε δεν υπάρχει αυτοσυσχέτιση.
- Αν τα σφάλματα συσχετίζονται μεταξύ τους για κάποιες παρατηρήσεις,  
 $Corr(u_t, u_s) \neq 0$  για κάποια  $t, s = 1, \dots, T$ ,  $t \neq s$ , τότε υπάρχει αυτοσυσχέτιση (autocorrelation).

π.χ. Υπόδειγμα παλινδρόμησης με  $K = 1$ :

$$Y_t = \beta_0 + \beta_1 X_t + u_t$$

(i)  $u_t = \rho u_{t-1} + \varepsilon_t \Rightarrow Corr(u_t, u_s) = \rho^{|t-s|} \neq 0$ ,  $t, s = 1, \dots, T$

(ii)  $u_t = \varepsilon_t + \theta \varepsilon_{t-1} \Rightarrow Corr(u_t, u_{t-1}) = \frac{\theta}{1+\theta^2} \neq 0$ ,  $t = 1, \dots, T$

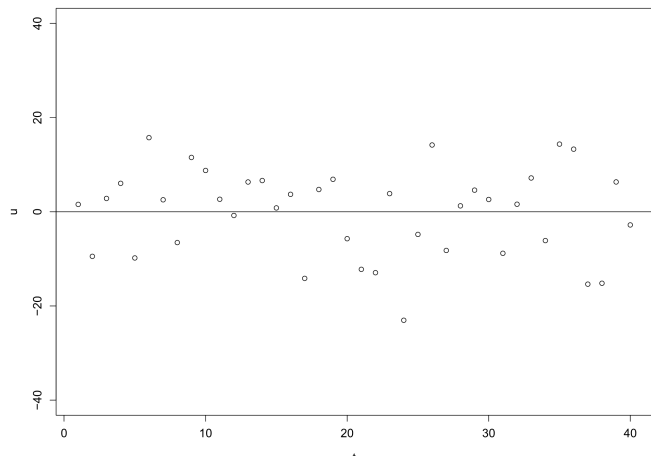
όπου  $E(\varepsilon_t) = 0$ ,  $V(\varepsilon_t) = \sigma_\varepsilon^2$  και  $Corr(\varepsilon_t, \varepsilon_s) = 0$ ,  $t, s = 1, \dots, T$ ,  $t \neq s$ .

π.χ. Υπόδειγμα παλινδρόμησης:  $Y_t = 50 + 2X_t + u_t$ ,  $t = 1, \dots, 40$

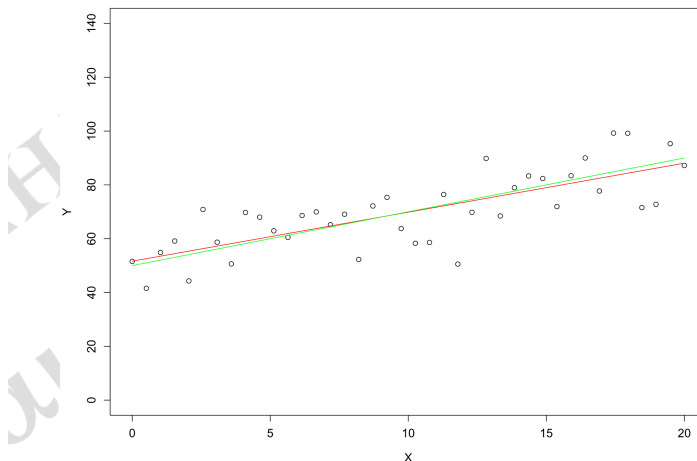
με  $V(u_t) = 100$  και  $\text{Corr}(u_t, u_s) = 0$ ,  $t, s = 1, \dots, 40$ ,  $t \neq s$

Μέθοδος εκτίμησης: OLS

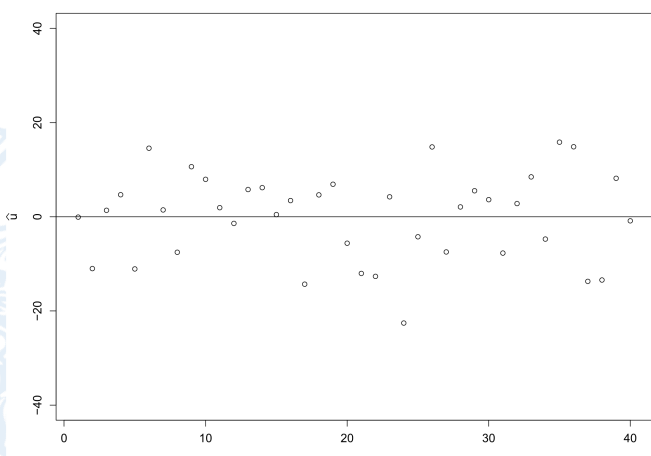
Σφάλματα



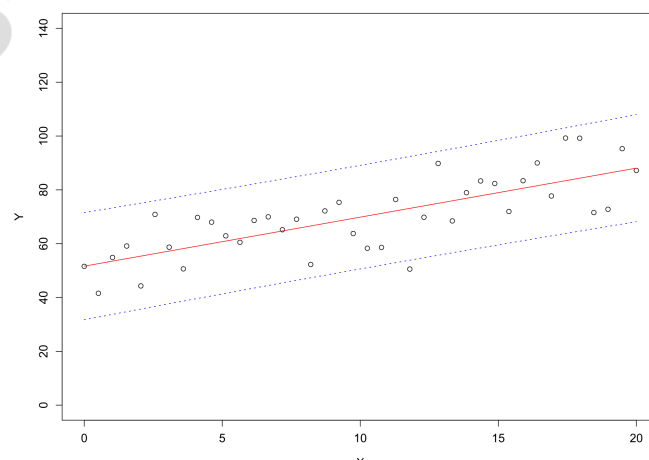
Δεδομένα, Πραγματική & Εκτιμώμενη Γραμμή



Κατάλοιπα



Δεδομένα, Πρόβλεψη & 95% Δ.Π. για  $Y$

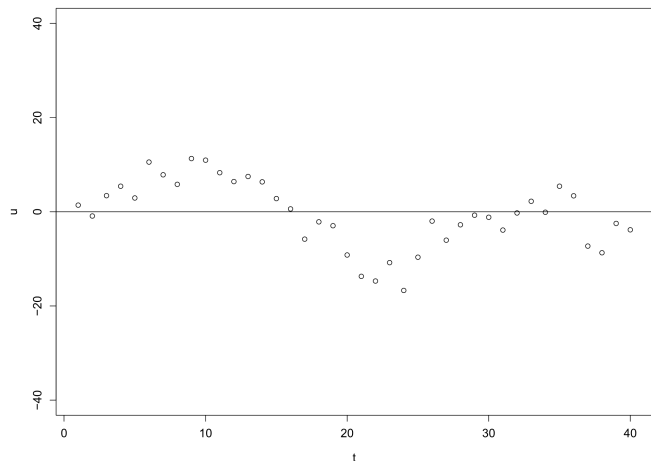


π.χ. Υπόδειγμα παλινδρόμησης:  $Y_t = 50 + 2X_t + u_t$ ,  $t = 1, \dots, 40$

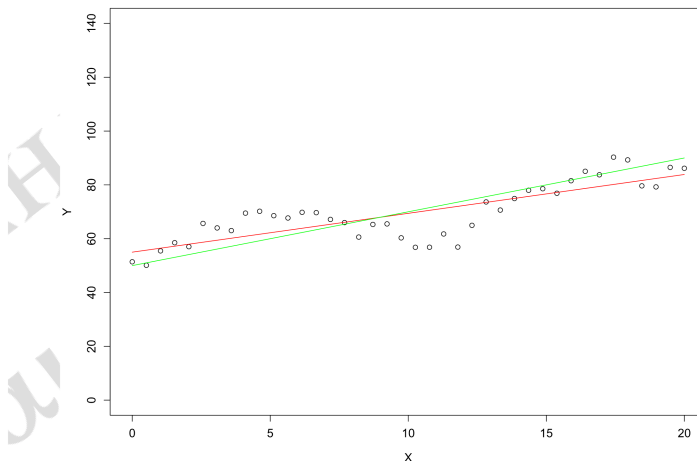
με  $V(u_t) = 100$  και  $\text{Corr}(u_t, u_s) = 0.9^{|t-s|}$ ,  $t, s = 1, \dots, 40$ ,  $t \neq s$

Μέθοδος εκτίμησης: OLS

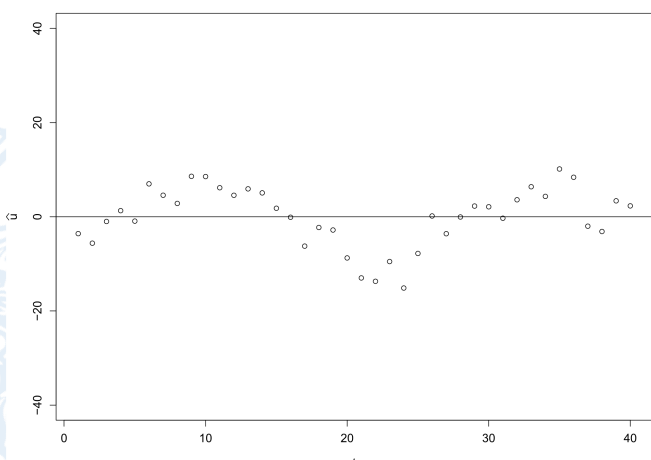
Σφάλματα



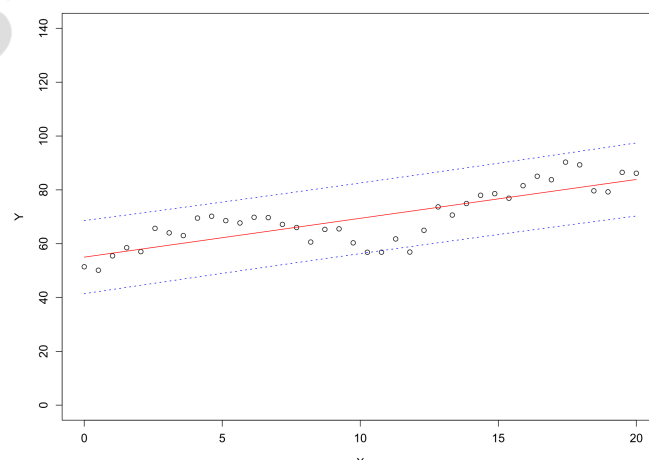
Δεδομένα, Πραγματική & Εκτιμώμενη Γραμμή



Κατάλοιπα



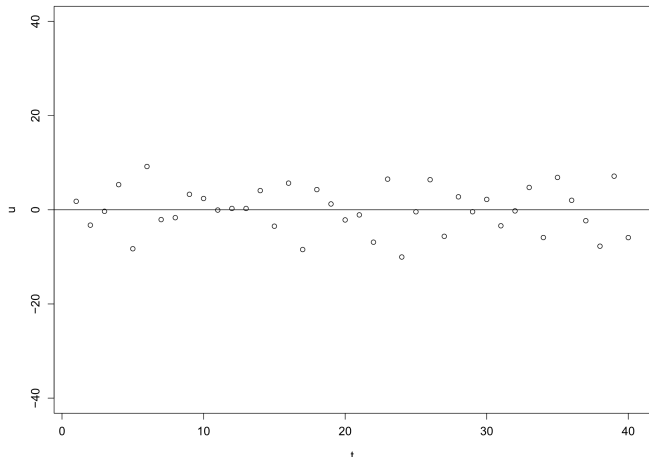
Δεδομένα, Πρόβλεψη & 95% Δ.Π. για Y



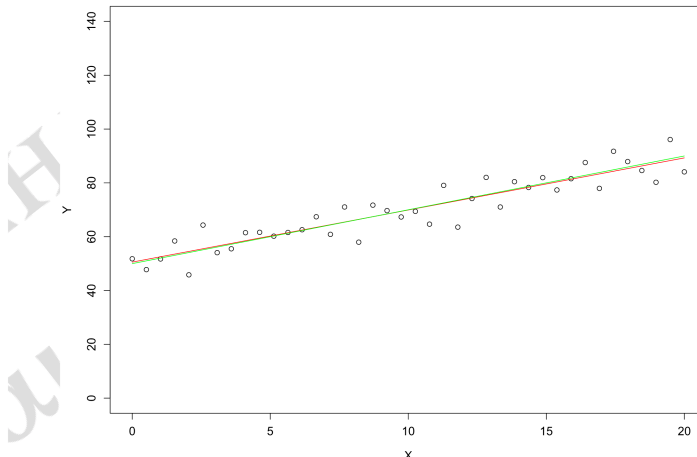
π.χ. Υπόδειγμα παλινδρόμησης:  $Y_t = 50 + 2X_t + u_t$ ,  $t = 1, \dots, 40$   
με  $V(u_t) = 100$  και  $\text{Corr}(u_t, u_s) = (-0.9)^{|t-s|}$ ,  $t, s = 1, \dots, 40$ ,  $t \neq s$

Μέθοδος εκτίμησης: OLS

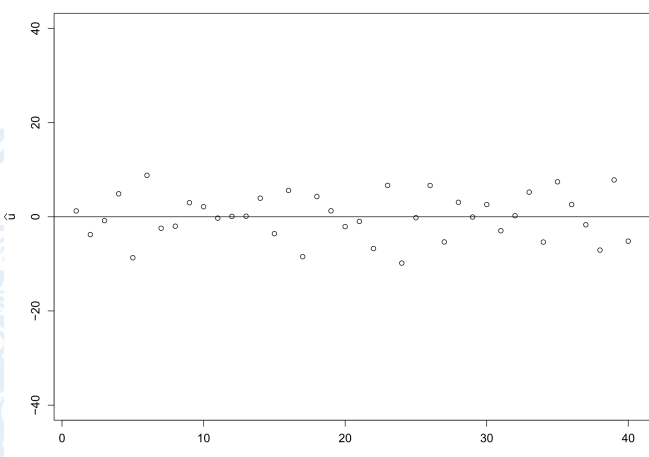
Σφάλματα



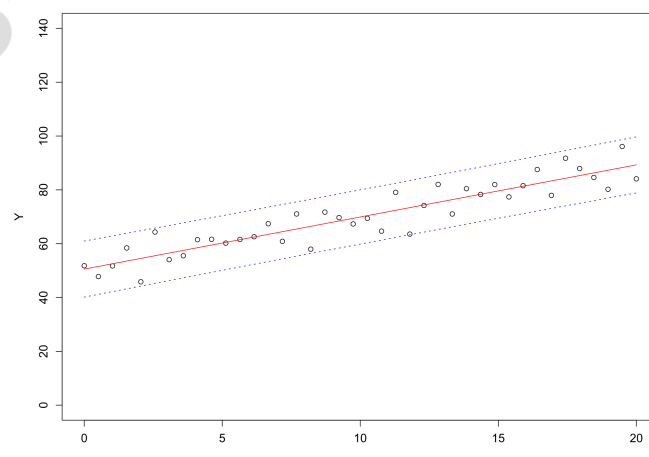
Δεδομένα, Πραγματική & Εκτιμώμενη Γραμμή



Κατάλοιπα



Δεδομένα, Πρόβλεψη & 95% Δ.Π. για  $Y$



- Υπόδειγμα για αυτοσυσχέτιση:

Υπόδειγμα αυτοπαλινδρόμησης  $p^{\text{ης-τάξης}} \text{ AR}(p)$  (autoregression model of  $p^{\text{th}}$ -order)

$$u_t = \rho_1 u_{t-1} + \dots + \rho_p u_{t-p} + \varepsilon_t$$

- $\rho_1, \dots, \rho_p$  είναι οι συντελεστές αυτοπαλινδρόμησης (autoregression coefficients)
- $\varepsilon_t$  είναι το σφάλμα της αυτοπαλινδρόμησης με  $E(\varepsilon_t) = 0$ ,  $V(\varepsilon_t) = \sigma_\varepsilon^2$  και  $\text{Corr}(\varepsilon_t, \varepsilon_s) = 0$  για  $t, s = 1, \dots, T$ ,  $t \neq s$ .

Όταν  $p = 1$ , στο υπόδειγμα AR(1)

$$u_t = \rho u_{t-1} + \varepsilon_t$$

για  $|\rho| < 1$  ισχύει ότι

$$E(u_t) = 0, \quad V(u_t) = \frac{\sigma_\varepsilon^2}{1 - \rho^2}, \quad \text{Corr}(u_t, u_s) = \rho^{|t-s|}$$

- Αυτοσυσχέτιση  $p^{\text{ης-τάξης}}$ :  $\text{Corr}(u_t, u_{t-p})$

π.χ. Αυτοσυσχέτιση 1<sup>ης-τάξης</sup>:  $\text{Corr}(u_2, u_1), \text{Corr}(u_3, u_2), \dots, \text{Corr}(u_T, u_{T-1})$

π.χ. Αυτοσυσχέτιση 2<sup>ης-τάξης</sup>:  $\text{Corr}(u_3, u_1), \text{Corr}(u_4, u_2), \dots, \text{Corr}(u_T, u_{T-2})$

## Ετεροσκεδαστικότητα/Αυτοσυσχέτιση

- Αν υπάρχει ετεροσκεδαστικότητα, η υπόθεση A.4 δεν ισχύει αφού

$$V(u) = \begin{pmatrix} V(u_1) & 0 & \cdots & \cdots & 0 \\ 0 & V(u_2) & \ddots & & \vdots \\ \vdots & \ddots & \ddots & \ddots & \vdots \\ \vdots & & \ddots & V(u_{T-1}) & 0 \\ 0 & \cdots & \cdots & 0 & V(u_T) \end{pmatrix} = \sigma^2 \begin{pmatrix} \delta_1 & 0 & \cdots & \cdots & 0 \\ 0 & \delta_2 & \ddots & & \vdots \\ \vdots & \ddots & \ddots & \ddots & \vdots \\ \vdots & & \ddots & \delta_{T-1} & 0 \\ 0 & \cdots & \cdots & 0 & \delta_T \end{pmatrix} \neq \sigma^2 I$$

- Αν υπάρχει αυτοσυσχέτιση, η υπόθεση A.4 δεν ισχύει αφού

$$V(u) = \begin{pmatrix} \sigma^2 & Cov(u_1, u_2) & \cdots & & Cov(u_1, u_T) \\ Cov(u_1, u_2) & \sigma^2 & \ddots & & \vdots \\ \vdots & \ddots & \ddots & \ddots & \vdots \\ \vdots & & \ddots & \sigma^2 & Cov(u_{T-1}, u_T) \\ Cov(u_1, u_T) & \cdots & \cdots & Cov(u_{T-1}, u_T) & \sigma^2 \end{pmatrix} \neq \sigma^2 I$$

- Αν υπάρχει ετεροσκεδαστικότητα ή/και αυτοσυσχέτιση και εφόσον οι υπόλοιπες υποθέσεις A.1-A.3 και A.5 ισχύουν:
  - Ο OLS εκτιμητής  $\widehat{\beta}$  είναι αμερόληπτος και συνεπής εκτιμητής του  $\beta$  αλλά δεν είναι άριστος.
  - Ο OLS εκτιμητής  $s^2$  είναι μεροληπτικός και ασυνεπής εκτιμητής του  $\sigma_t^2$  (όταν υπάρχει ετεροσκεδαστικότητα).
  - Ο OLS εκτιμητής  $\widehat{V}(\widehat{\beta})$  είναι μεροληπτικός και ασυνεπής εκτιμητής του  $V(\widehat{\beta})$ .
  - Οι προβλέψεις  $\widehat{Y}_f$  και  $\widehat{E(Y_f)}$  είναι αμερόληπτες και συνεπείς προβλέψεις των  $Y_f$  και  $E(Y_f)$ , αλλά δεν είναι άριστες.
  - Οι στατιστικοί έλεγχοι  $t$  και  $F$ , τα διαστήματα εμπιστοσύνης και προβλέψεων είναι αναξιόπιστα.
- Υπάρχουν περιπτώσεις που αν η υπόθεση A.4 δεν ισχύει τότε και η υπόθεση A.3/A.3' δεν ισχύει: π.χ. όταν στο υπόδειγμα παλινδρόμησης περιλαμβάνεται ως ερμηνευτική μεταβλητή  $s^n$ -υστέρηση της εξαρτημένης μεταβλητής,  $Y_{t-s}$ , και υπάρχει αυτοσυσχέτιση  $s^{n\varsigma}$ -τάξης.

π.χ. Υπόδειγμα παλινδρόμησης με  $K = 2$ :

$$Y_t = \beta_0 + \beta_1 Y_{t-1} + \beta_2 X_t + u_t \quad \text{με } u_t = \rho u_{t-1} + \varepsilon_t$$

Ισχύει ότι  $\text{Corr}(Y_{t-1}, u_t) \neq 0 \Rightarrow$  υπόθεση A.3/A.3' δεν ισχύει.

- Υπάρχουν περιπτώσεις που η υπόθεση A.4 δεν ισχύει επειδή η υπόθεση A.1 δεν ισχύει.

π.χ. Πραγματικό υπόδειγμα παλινδρόμησης με  $K = 2$ :

$$Y_t = \beta_0 + \beta_1 X_{t1} + \beta_2 X_{t2} + u_t \quad \text{με } V(X_{t2}) \neq \text{σταθερή } \& \text{ και } \text{Corr}(X_{t2}, X_{s2}) \neq 0$$

Επιλεγόμενο υπόδειγμα παλινδρόμησης με  $K = 1$ :

$$Y_t = \beta_0 + \beta_1 X_{t1} + \eta_t$$

Ισχύει ότι  $\eta_t = u_t + \beta_2 X_{t2} \Rightarrow$  υπόθεση A.4 δεν ισχύει.

- Εντοπισμός ετεροσκεδαστικότητας  $\&$  αυτοσυσχέτισης στα σφάλματα  $u$ :
  - Γραφήματα καταλοίπων  $\widehat{u}$
  - Στατιστικοί έλεγχοι στα κατάλοιπα  $\widehat{u}$

**Στατιστικός έλεγχος: Breusch-Pagan-Godfrey για ετεροσκεδαστικότητα**

Ετεροσκεδαστικότητα:  $V(u_t) = \sigma_t^2 = \alpha_0 + \alpha_1 Z_{t1} + \dots + \alpha_m Z_{tm}$ , όπου  $Z_1, \dots, Z_m$  μεταβλητές

Τυποθέσεις:  $H_0 : \alpha_1 = \dots = \alpha_m = 0$  έναντι  $H_1 : \text{τουλάχιστον ένα } \alpha_j \neq 0, j = 1, \dots, m$

Στατιστική ελέγχου:  $BPG = TR^2$

όπου  $R^2$  είναι ο συντελεστής προσδιορισμού του υποδείγματος βοηθητικής παλινδρόμησης

$$\hat{u}_t^2 = \alpha_0 + \alpha_1 Z_{t1} + \dots + \alpha_m Z_{tm} + \varepsilon_t, t = 1, \dots, T$$

Κρίσιμη περιοχή:  $BPG > \chi^2_{m,\alpha}$



## Στατιστικός έλεγχος: White για ετεροσκεδαστικότητα

Ετεροσκεδαστικότητα:  $V(u_t) = \sigma_t^2 = f(X_{t1}, \dots, X_{tK}) \simeq \alpha_0 + \alpha_1 X_{t1} + \dots + \alpha_K X_{tK} + \gamma_1 X_{t1}^2 + \dots + \gamma_K X_{tK}^2 + \delta_1 X_{t1} X_{t2} + \delta_2 X_{t1} X_{t3} + \dots + \delta_{\frac{K(K-1)}{2}} X_{t,K-1} X_{tK}$

Τη ποθέσεις:  $H_0 : \alpha_1 = \dots = \alpha_K = \gamma_1 = \dots = \gamma_K = \delta_1 = \dots = \delta_{\frac{K(K-1)}{2}} = 0$  έναντι  $H_1 : \text{του λάχιστον ένα } \alpha_{j_1}, \gamma_{j_2}, \delta_{j_3} \neq 0, j_1, j_2 = 1, \dots, K, j_3 = 1, \dots, \frac{K(K-1)}{2}$

Στατιστική ελέγχου:  $W = TR^2$

όπου  $R^2$  είναι ο συντελεστής προσδιορισμού του υποδείγματος βοηθητικής παλινδρόμησης

$$\begin{aligned} \widehat{u}_t^2 &= \alpha_0 + \alpha_1 X_{t1} + \dots + \alpha_K X_{tK} + \gamma_1 X_{t1}^2 + \dots + \gamma_K X_{tK}^2 + \delta_1 X_{t1} X_{t2} + \delta_2 X_{t1} X_{t3} \\ &\quad + \dots + \delta_{\frac{K(K-1)}{2}} X_{t,K-1} X_{tK} + \varepsilon_t, t = 1, \dots, T \end{aligned}$$

Κρίσιμη περιοχή:  $W > \chi_{m,\alpha}^2$

$$\text{όπου } m = \frac{(K+1)(K+2)}{2} - 1.$$

Σημείωση:

- Η εφαρμογή του στατιστικού ελέγχου BPG προϋποθέτει γνώση των μεταβλητών  $Z_1, \dots, Z_m$ .
- Συχνά επιλέγονται οι ερμηνευτικές μεταβλητές  $X_1, \dots, X_K$  για τις μεταβλητές  $Z_1, \dots, Z_m$  και τότε ο στατιστικός έλεγχος BPG είναι ειδική περίπτωση του στατιστικού ελέγχου White.
- Ο στατιστικός έλεγχος White είναι γενικός και αν απορριφθεί η  $H_0$  δεν συνάγεται η μορφή της ετεροσκεδαστικότητας.
- Κατά την εφαρμογή του στατιστικού ελέγχου White χάνονται πολλοί βαθμοί ελευθερίας  $m = \frac{(K+1)(K+2)}{2} - 1$ .
- Η μη απόρριψη της  $H_0$  βάσει των στατιστικών ελέγχων BPG και White δεν έπειται ότι δεν υπάρχει άλλη μορφή ετεροσκεδαστικότητας.
- Οι στατιστικοί έλεγχοι BPG και White θα μπορούσαν να είχαν βασιστεί στον στατιστικό έλεγχο  $F$  για τη σημαντικότητα του υποδείγματος βοηθητικής παλινδρόμησης.

## Στατιστικός έλεγχος: Durbin-Watson για αυτοσυσχέτιση 1<sup>ης</sup>-τάξης

Αυτοσυσχέτιση:  $u_t = \rho u_{t-1} + \varepsilon_t$

$$\text{Στατιστική ελέγχου: } DW = \frac{\sum_{t=2}^T (\hat{u}_t - \hat{u}_{t-1})^2}{\sum_{t=1}^T \hat{u}_t^2}$$

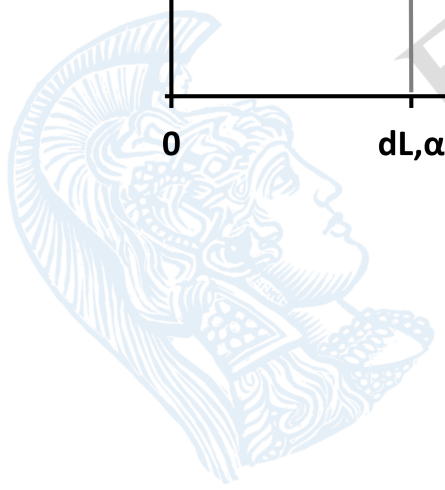
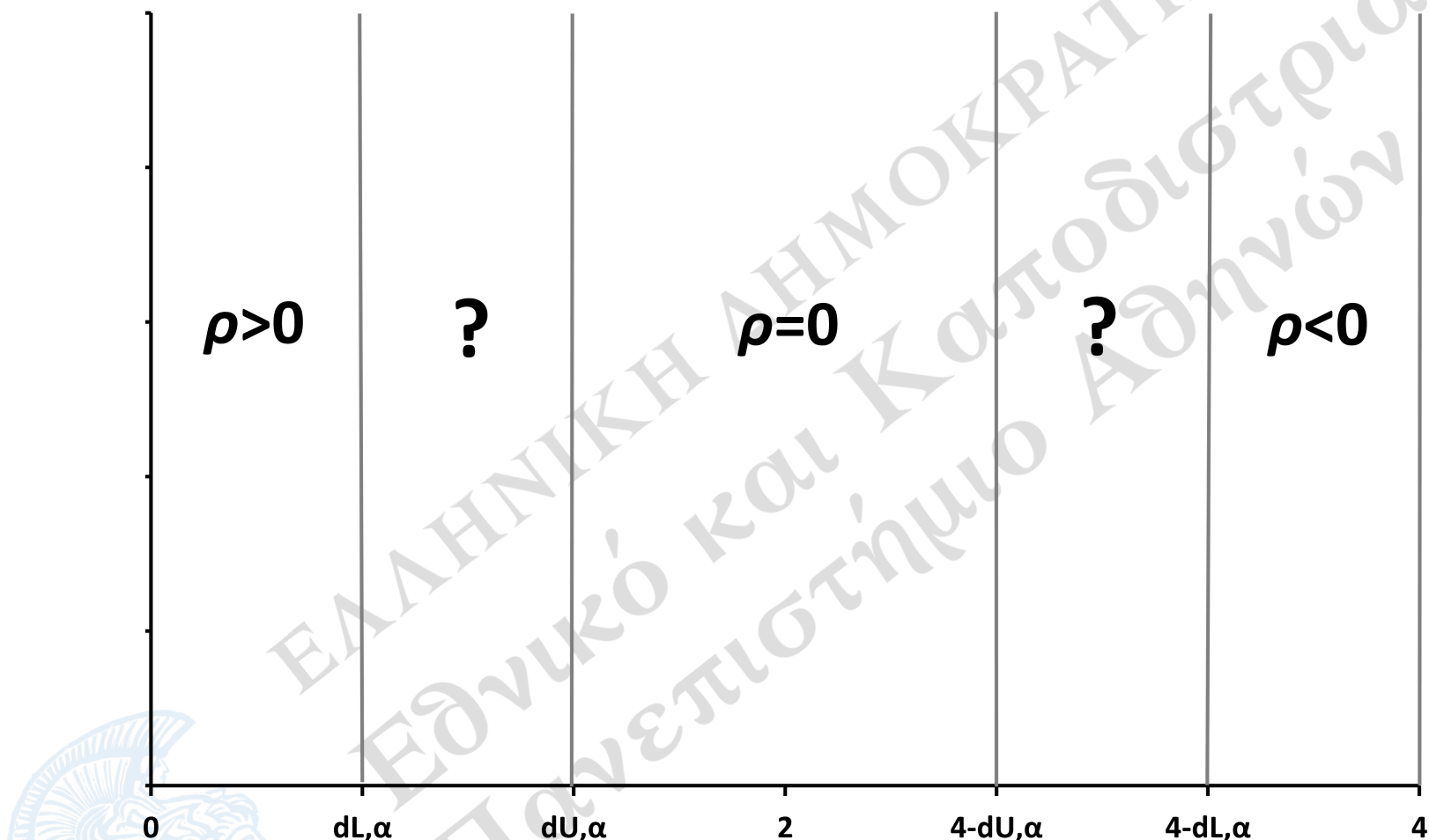
Τύποι θέσεις:  $H_0 : \rho = 0$  έναντι  $H_1 : \rho > 0$

- Αν  $DW < d_{L,\alpha}$  απορρίπτουμε  $H_0$ .
- Αν  $DW > d_{U,\alpha}$ , δεν απορρίπτουμε  $H_0$ .
- Αν  $d_{L,\alpha} \leq DW \leq d_{U,\alpha}$ , το αποτέλεσμα του στατιστικού ελέγχου είναι αβέβαιο.

Τύποι θέσεις:  $H_0 : \rho = 0$  έναντι  $H_1 : \rho < 0$

- Αν  $DW > 4 - d_{L,\alpha}$ , απορρίπτουμε  $H_0$ .
- Αν  $DW < 4 - d_{U,\alpha}$ , δεν απορρίπτουμε  $H_0$ .
- Αν  $4 - d_{U,\alpha} \leq DW \leq 4 - d_{L,\alpha}$ , το αποτέλεσμα του στατιστικού ελέγχου είναι αβέβαιο.

## Περιοχές του στατιστικού ελέγχου Durbin-Watson



## Στατιστικός έλεγχος: h-Durbin για αυτοσυσχέτιση 1<sup>ης</sup>-τάξης

Τη πόδειγμα παλινδρόμησης με υστέρηση της εξαρτημένης μεταβλητής ως ερμηνευτική μεταβλητή

$$Y_t = \beta_0 + \alpha Y_{t-1} + \beta_2 X_{t2} + \dots + \beta_K X_{tK} + u_t$$

Αυτοσυσχέτιση:  $u_t = \rho u_{t-1} + \varepsilon_t$

Τη ποθέσεις:  $H_0 : \rho = 0$  έναντι  $H_1 : \rho \neq 0$  ή  $H'_1 : \rho > 0$  ή  $H''_1 : \rho < 0$

Στατιστική ελέγχου:  $h = \hat{\rho} \sqrt{\frac{T}{1-T s_{\hat{\alpha}}^2}}$

όπου  $\hat{\rho} = 1 - \frac{1}{2}DW$  και  $s_{\hat{\alpha}}$  είναι το τυπικό σφάλμα του OLS εκτιμητή του συντελεστή παλινδρόμησης της 1<sup>ης</sup>-υστέρησης της εξαρτημένης μεταβλητής,  $Y_{t-1}$ .

Κρίσιμη περιοχή:  $|h| > Z_{\frac{\alpha}{2}}(H_1)$  ή  $h > Z_{\alpha}(H'_1)$  ή  $h < -Z_{\alpha}(H''_1)$



Στατιστικός έλεγχος: Breusch-Godfrey για αυτοσυσχέτιση έως  $p^{\eta \varsigma}$ -τάξης

Αυτοσυσχέτιση:  $u_t = \rho_1 u_{t-1} + \dots + \rho_p u_{t-p} + \varepsilon_t$

Τυποθέσεις:  $H_0 : \rho_1 = \dots = \rho_p = 0$  έναντι  $H_1 : \tauουλάχιστον$  ένα  $\rho_j \neq 0$ ,  $j = 1, \dots, p$

Στατιστική ελέγχου:  $BG = (T - p)R^2$

όπου  $R^2$  είναι ο συντελεστής προσδιορισμού του υποδείγματος βοηθητικής παλινδρόμησης

$$\widehat{u}_t = \gamma_0 + \gamma_1 X_{t1} + \dots + \gamma_K X_{tK} + \rho_1 \widehat{u}_{t-1} + \dots + \rho_p \widehat{u}_{t-p} + \varepsilon_t, t = p + 1, \dots, T$$

Κρίσιμη περιοχή:  $BG > \chi^2_{p,\alpha}$



Σημείωση:

- Οι κρίσιμες τιμές  $d_{L,\alpha}$  και  $d_{U,\alpha}$  του στατιστικού ελέγχου Durbin-Watson εξαρτώνται από το μέγεθος του δείγματος  $T$  και τον αριθμό των ερμηνευτικών μεταβλητών  $K$ .
- Ο στατιστικός έλεγχος Durbin-Watson δεν μπορεί να εφαρμοσθεί αν υστερήσεις της εξαρτημένης μεταβλητής,  $Y_{t-s}$ , περιλαμβάνονται ως ερμηνευτικές μεταβλητές στο υπόδειγμα παλινδρόμησης. Σε αυτήν την περίπτωση μπορεί να εφαρμοσθεί ο στατιστικός έλεγχος h-Durbin.
- Η εφαρμογή του στατιστικού ελέγχου BG προϋποθέτει γνώση της τάξης  $p$ .
- Ο στατιστικός έλεγχος BG εφαρμόζεται και όταν υστερήσεις της εξαρτημένης μεταβλητής,  $Y_{t-s}$ , περιλαμβάνονται ως ερμηνευτικές μεταβλητές στο υπόδειγμα παλινδρόμησης.
- Ο στατιστικός έλεγχος BG θα μπορούσε να είχε βασιστεί στον στατιστικό έλεγχο  $F$  για γραμμικούς περιορισμούς στο υπόδειγμα βοηθητικής παλινδρόμησης.

## Μέθοδος γενικευμένων ελαχίστων τετραγώνων (GLS) και μέθοδος εφικτών γενικευμένων ελαχίστων τετραγώνων (FGLS)

Έστω ότι υπάρχει ετεροσκεδαστικότητα ή/και αυτοσυσχέτιση:  $V(u) = \sigma^2 \Omega \neq \sigma^2 I$   
 π.χ.  $V(u_t) = \sigma^2 \delta_t$  και  $\text{Corr}(u_t, u_s) = 0, t, s = 1, \dots, T, t \neq s$

$$\Omega = \begin{pmatrix} \delta_1 & 0 & \dots & \dots & 0 \\ 0 & \delta_2 & \ddots & & \vdots \\ \vdots & \ddots & \ddots & \ddots & \vdots \\ & & & \delta_{T-1} & 0 \\ 0 & \dots & \dots & 0 & \delta_T \end{pmatrix}$$

π.χ.  $V(u_t) = \sigma^2$  και  $\text{Corr}(u_t, u_s) = \rho^{|t-s|}, t, s = 1, \dots, T$

$$\Omega = \begin{pmatrix} 1 & \rho & \dots & \dots & \rho^{T-1} \\ \rho & 1 & \ddots & & \vdots \\ \vdots & \ddots & \ddots & \ddots & \vdots \\ & & \ddots & 1 & \rho \\ \rho^{T-1} & \dots & \dots & \rho & 1 \end{pmatrix}$$



Αν ο πίνακας  $\Omega$  είναι γνωστός:

- Ο εκτιμητής γενικευμένων ελαχίστων τετραγώνων GLS (generalized least squares) του  $\beta$  είναι

$$\widehat{\beta}^{GLS} = (X'\Omega^{-1}X)^{-1}X'\Omega^{-1}Y$$

με πίνακα διακυμάνσεων-συνδιακυμάνσεων

$$V(\widehat{\beta}^{GLS}) = \sigma^2(X'\Omega^{-1}X)^{-1}$$

Ο GLS εκτιμητής του  $\sigma^2$  είναι

$$s_{GLS}^2 = \frac{1}{T - K - 1}(Y - X\widehat{\beta}^{GLS})'(Y - X\widehat{\beta}^{GLS})$$

Ο GLS εκτιμητής του  $V(\widehat{\beta}^{GLS})$  είναι

$$\widehat{V}(\widehat{\beta}^{GLS}) = s_{GLS}^2(X'\Omega^{-1}X)^{-1}$$

- Αν οι A.1-A.3 και A.5 ισχύουν και  $V(u) = \sigma^2\Omega$ , τότε οι GLS εκτιμητές έχουν τις στατιστικές ιδιότητες ( $\Sigma I\pi\alpha$ ). Αν οι A.1-A.3' και A.5/A.5' ισχύουν και  $V(u) = \sigma^2\Omega$ , τότε οι GLS εκτιμητές έχουν τις στατιστικές ιδιότητες ( $\Sigma I\alpha$ ).

Αν ο πίνακας  $\Omega$  είναι άγνωστος:

- Έστω ότι υπάρχει συνεπής εκτιμητής  $\widehat{\Omega}$  του  $\Omega$ .
- Ο εκτιμητής εφικτών γενικευμένων ελαχίστων τετραγώνων FGLS (feasible generalized least squares) του  $\beta$  είναι

$$\widehat{\beta}^{FGLS} = (X' \widehat{\Omega}^{-1} X)^{-1} X' \widehat{\Omega}^{-1} Y$$

με πίνακα διακυμάνσεων-συνδιακυμάνσεων

$$V(\widehat{\beta}^{FGLS}) = \sigma^2 (X' \widehat{\Omega}^{-1} X)^{-1}$$

Ο FGLS εκτιμητής του  $\sigma^2$  είναι

$$s_{FGLS}^2 = \frac{1}{T - K - 1} (Y - X \widehat{\beta}^{FGLS})' (Y - X \widehat{\beta}^{FGLS})$$

Ο FGLS εκτιμητής του  $V(\widehat{\beta}^{FGLS})$  είναι

$$\widehat{V}(\widehat{\beta}^{FGLS}) = s_{FGLS}^2 (X' \widehat{\Omega}^{-1} X)^{-1}$$

- Αν οι A.1-A.3/A.3' και A.5/A.5' ισχύουν και  $V(u) = \sigma^2 \Omega$  με συνεπή εκτιμητή  $\widehat{\Omega}$  του  $\Omega$ , τότε οι FGLS εκτιμητές έχουν τις στατιστικές ιδιότητες (ΣΙα).

Σημείωση:

- Όταν υπάρχει ετεροσκεδαστικότητα  $V(u_t) = \sigma^2 \delta_t$  και δεν υπάρχει αυτοσυσχέτιση:
  - Η μέθοδος GLS ή FGLS συμπίπτει με τη μέθοδο ελαχίστων τετραγώνων με βάρη WLS (weighted least squares), όπου τα βάρη είναι  $w_t = \frac{1}{\sqrt{\delta_t}}$  ή  $w_t = \frac{1}{\sqrt{\widehat{\delta}_t}}$ ,  $t = 1, \dots, T$ .
  - Μέθοδος ελαχίστων τετραγώνων WLS (weighted least squares) με βάρη  $w_t$ ,  $t = 1, \dots, T$ : ελαχιστοποιούμε ως προς  $\tilde{\beta}$  το άνθροισμα των τετραγώνων

$$S(\tilde{\beta}) = \sum_{t=1}^T w_t^2 (Y_t - \tilde{\beta}_0 - \tilde{\beta}_1 X_{t1} - \dots - \tilde{\beta}_K X_{tK})^2$$

- Αν ο πίνακας  $\Omega$  δεν είναι σωστά εξειδικευμένος, τότε οι στατιστικές ιδιότητες (ΣΙπα) των GLS εκτιμητών παύουν να ισχύουν.
- Αν ο πίνακας  $\Omega$  δεν είναι σωστά εξειδικευμένος ή/και ο εκτιμητής  $\widehat{\Omega}$  δεν είναι συνεπής, τότε οι στατιστικές ιδιότητες (ΣΙα) των FGLS εκτιμητών παύουν να ισχύουν.

- Εναλλακτικά,
  - Εκτιμάται με OLS το υπόδειγμα παλινδρόμησης και υπολογίζεται ο εκτιμητής  $\widehat{\beta}$  του  $\beta$ .
  - Όταν υπάρχει ετεροσκεδαστικότητα αγνώστου μορφής, χρησιμοποιείται ο White εκτιμητής  $\widehat{V}_W(\widehat{\beta})$  του  $V(\widehat{\beta})$ . Η εκτίμηση του  $V(\widehat{\beta})$  και οι στατιστικοί έλεγχοι, διαστήματα εμπιστοσύνης και πρόβλεψης που βασίζονται στον White εκτιμητή  $\widehat{V}_W(\widehat{\beta})$  είναι γνωστά ως ανθεκτικά στην ετεροσκεδαστικότητα (heteroskedasticity robust).
  - Όταν υπάρχει ετεροσκεδαστικότητα ή/και αυτοσυσχέτιση αγνώστου μορφής, χρησιμοποιείται ο Newey-West εκτιμητής  $\widehat{V}_{NW}(\widehat{\beta})$  του  $V(\widehat{\beta})$ . Η εκτίμηση του  $V(\widehat{\beta})$  και οι στατιστικοί έλεγχοι, διαστήματα εμπιστοσύνης και πρόβλεψης που βασίζονται στον Newey-West εκτιμητή  $\widehat{V}_{NW}(\widehat{\beta})$  είναι γνωστά ως ανθεκτικά στην ετεροσκεδαστικότητα και την αυτοσυσχέτιση (heteroskedasticity and autocorrelation robust).
- Η μέθοδος GLS ή FGLS βασίζεται στη μέθοδο OLS σε ένα μετασχηματισμένο υπόδειγμα παλινδρόμησης όπου η υπόθεση A.4 ισχύει.

π.χ. Υπόδειγμα παλινδρόμησης με ετεροσκεδαστικότητα

$$Y_t = \beta_0 + \beta_1 X_{t1} + \dots + \beta_K X_{tK} + u_t \quad (1) \quad \text{με } V(u_t) = \sigma^2 \delta_t \quad (2)$$

Μετασχηματίζουμε το υπόδειγμα παλινδρόμησης

$$(1) \Rightarrow \frac{Y_t}{\sqrt{\delta_t}} = \beta_0 \frac{1}{\sqrt{\delta_t}} + \beta_1 \frac{X_{t1}}{\sqrt{\delta_t}} + \dots + \beta_K \frac{X_{tK}}{\sqrt{\delta_t}} + \frac{u_t}{\sqrt{\delta_t}} \Rightarrow \\ Y_t^* = \beta_0 X_{t0}^* + \beta_1 X_{t1}^* + \dots + \beta_K X_{tK}^* + u_t^* \quad (*)$$

όπου  $Y_t^* = \frac{Y_t}{\sqrt{\delta_t}}$ ,  $X_{t0}^* = \frac{1}{\sqrt{\delta_t}}$ ,  $X_{t1}^* = \frac{X_{t1}}{\sqrt{\delta_t}}$ , ...,  $X_{tK}^* = \frac{X_{tK}}{\sqrt{\delta_t}}$  και  $u_t^* = \frac{u_t}{\sqrt{\delta_t}}$ .

Στο μετασχηματισμένο υπόδειγμα παλινδρόμησης (\*) δεν υπάρχει ετεροσκεδαστικότητα αφού

$$V(u_t^*) = V\left(\frac{u_t}{\sqrt{\delta_t}}\right) = \left(\frac{1}{\sqrt{\delta_t}}\right)^2 V(u_t) \stackrel{(2)}{=} \frac{1}{\delta_t} \sigma^2 \delta_t = \sigma^2, t = 1, \dots, T$$

- Αν τα  $\delta_t$  είναι γνωστά: Εκτιμάμε με μέθοδο OLS το υπόδειγμα παλινδρόμησης (\*). Αυτό είναι ισοδύναμο με μέθοδο GLS στο υπόδειγμα παλινδρόμησης (1) με ετεροσκεδαστικότητα (2).
- Αν τα  $\delta_t$  είναι άγνωστα και έχουμε συνεπείς εκτιμήσεις τους  $\widehat{\delta}_t$ : Αντικαθιστούμε

στο  $(*)$  τα  $\delta_t$  με τα  $\widehat{\delta}_t$ . Εκτιμάμε με μέθοδο OLS το υπόδειγμα παλινδρόμησης  $(*)$ . Αυτό είναι ισοδύναμο με μέθοδο FGLS στο υπόδειγμα παλινδρόμησης (1) με ετεροσκεδαστικότητα (2).

π.χ. Υπόδειγμα παλινδρόμησης με αυτοσυσχέτιση

$$Y_t = \beta_0 + \beta_1 X_{t1} + \dots + \beta_K X_{tK} + u_t \quad (3) \quad \text{με } u_t = \rho u_{t-1} + \varepsilon_t \quad (4)$$

Μετασχηματίζουμε το υπόδειγμα παλινδρόμησης

$$\left. \begin{array}{l} (3) \Rightarrow Y_t = \beta_0 + \beta_1 X_{t1} + \dots + \beta_K X_{tK} + u_t \\ (3) \Rightarrow \rho Y_{t-1} = \rho \beta_0 + \rho \beta_1 X_{t-1,1} + \dots + \rho \beta_K X_{t-1,K} + \rho u_{t-1} \end{array} \right\} \stackrel{(-)}{\Leftrightarrow}$$

$$\begin{aligned} Y_t - \rho Y_{t-1} &= \beta_0 + \beta_1 X_{t1} + \dots + \beta_K X_{tK} + u_t - \\ &\quad - (\rho \beta_0 + \rho \beta_1 X_{t-1,1} + \dots + \rho \beta_K X_{t-1,K} + \rho u_{t-1}) \Rightarrow \\ Y_t - \rho Y_{t-1} &= \beta_0(1 - \rho) + \beta_1(X_{t1} - \rho X_{t-1,1}) + \dots + \beta_K(X_{tK} - \rho X_{t-1,K}) + \\ &\quad + u_t - \rho u_{t-1} \Rightarrow \\ Y_t^* &= \beta_0^* + \beta_1 X_{t1}^* + \dots + \beta_K X_{tK}^* + u_t^* \end{aligned} \quad (**)$$

όπου  $Y_t^* = Y_t - \rho Y_{t-1}$ ,  $\beta_0^* = \beta_0(1 - \rho)$ ,  $X_{t1}^* = X_{t1} - \rho X_{t-1,1}$ , ...,  $X_{tK}^* = X_{tK} - \rho X_{t-1,K}$  και  $u_t^* = u_t - \rho u_{t-1}$ .

Στο μετασχηματισμένο υπόδειγμα παλινδρόμησης (\*\*) δεν υπάρχει αυτοσυσχέτιση αφού

$$u_t^* = u_t - \rho u_{t-1} \stackrel{(4)}{=} \varepsilon_t \text{ με } \text{Corr}(\varepsilon_t, \varepsilon_s) = 0, t, s = 1, \dots, T, t \neq s$$

- Αν το  $\rho$  είναι γνωστό: Εκτιμάμε με μέθοδο OLS το υπόδειγμα παλινδρόμησης (\*\*). Αυτό είναι ισοδύναμο με μέθοδο GLS στο υπόδειγμα παλινδρόμησης (3) με αυτοσυσχέτιση (4).
- Αν το  $\rho$  είναι άγνωστο και έχουμε συνεπή εκτίμηση του  $\widehat{\rho}$ : Αντικαθιστούμε στο (\*\*) το  $\rho$  με το  $\widehat{\rho}$ . Εκτιμάμε με μέθοδο OLS το υπόδειγμα παλινδρόμησης (\*\*). Αυτό είναι ισοδύναμο με μέθοδο FGLS στο υπόδειγμα παλινδρόμησης (3) με αυτοσυσχέτιση (4).

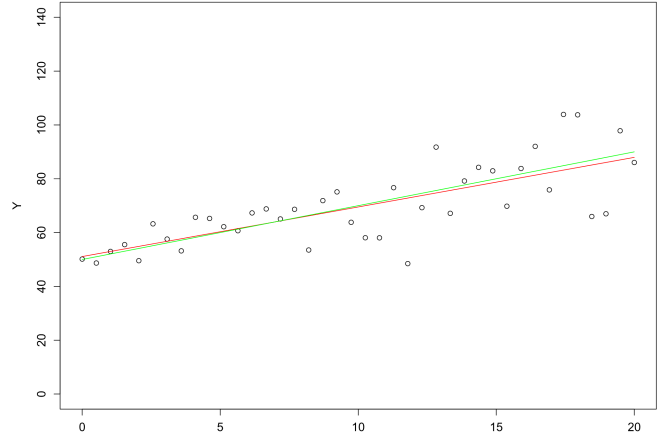


π.χ. Υπόδειγμα παλινδρόμησης:  $Y_t = 50 + 2X_t + u_t$ ,  $t = 1, \dots, 40$

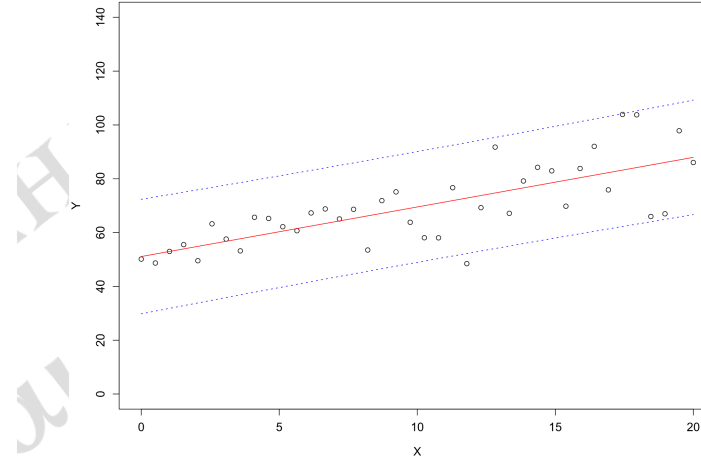
με  $V(u_t) = 1 + 10|X_t|$  και  $Corr(u_t, u_s) = 0$ ,  $t, s = 1, \dots, 40$ ,  $t \neq s$

Μέθοδος εκτίμησης: OLS

Δεδομένα, Πραγματική & Εκτιμώμενη Γραμμή

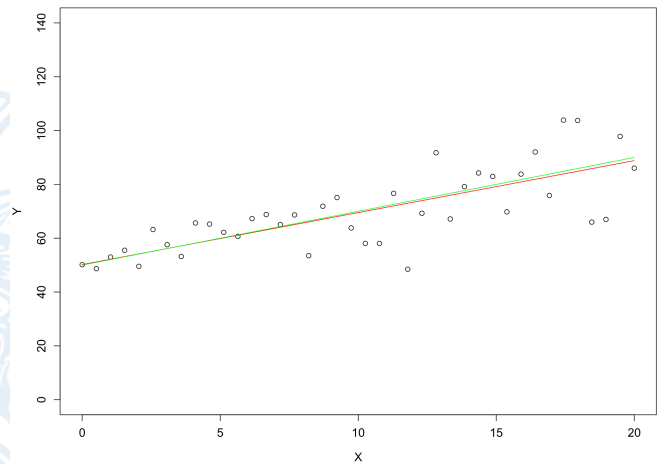


Δεδομένα, Πρόβλεψη & 95% Δ.Π. για Y

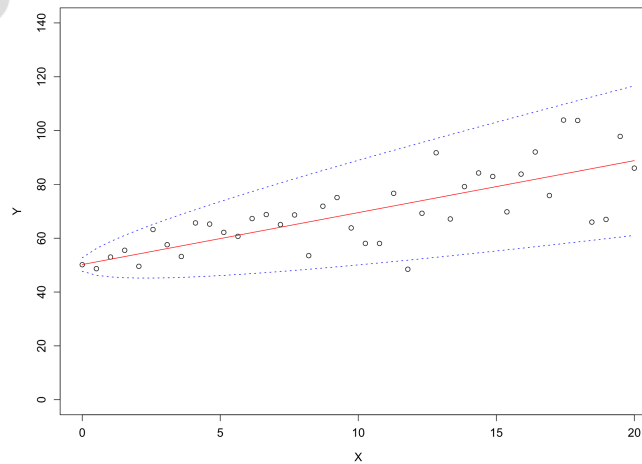


Μέθοδος εκτίμησης: GLS

Δεδομένα, Πραγματική & Εκτιμώμενη Γραμμή



Δεδομένα, Πρόβλεψη & 95% Δ.Π. για Y

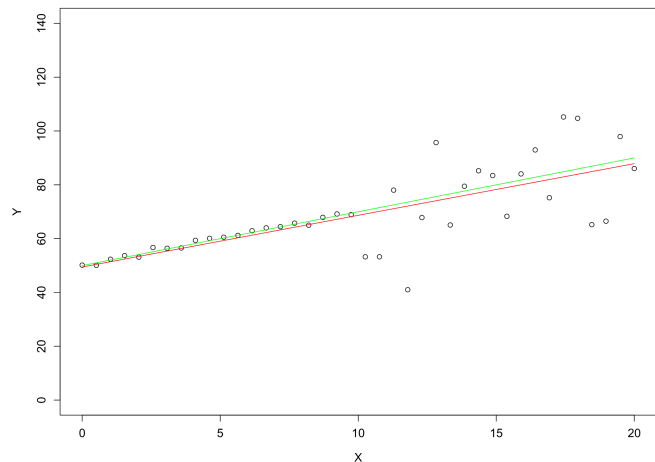


π.χ. Υπόδειγμα παλινδρόμησης:  $Y_t = 50 + 2X_t + u_t$ ,  $t = 1, \dots, 40$

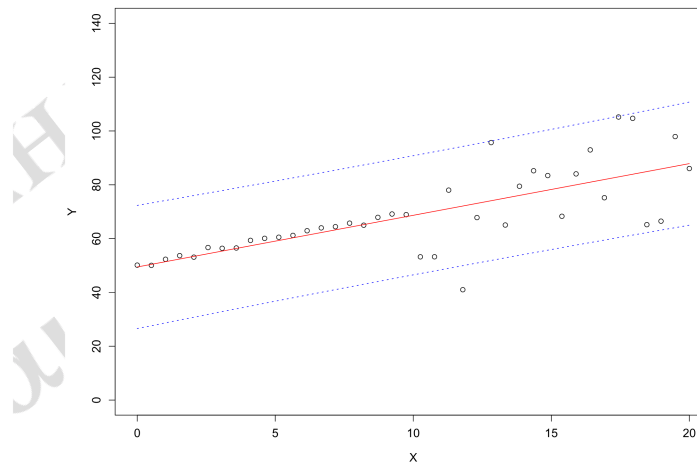
$$\text{με } V(u_t) = \begin{cases} 1, & \text{αν } t = 1, \dots, 20 \\ 200, & \text{αν } t = 21, \dots, 40 \end{cases} \text{ και } \text{Corr}(u_t, u_s) = 0, t, s = 1, \dots, 40, t \neq s$$

Μέθοδος εκτίμησης: OLS

Δεδομένα, Πραγματική & Εκτιμώμενη Γραμμή

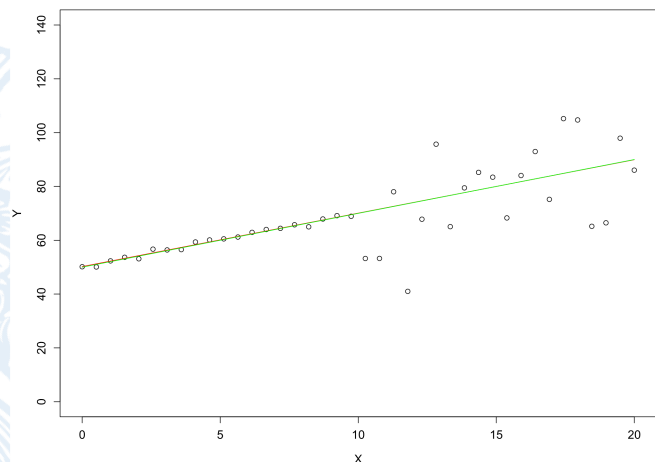


Δεδομένα, Πρόβλεψη & 95% Δ.Π. για Y

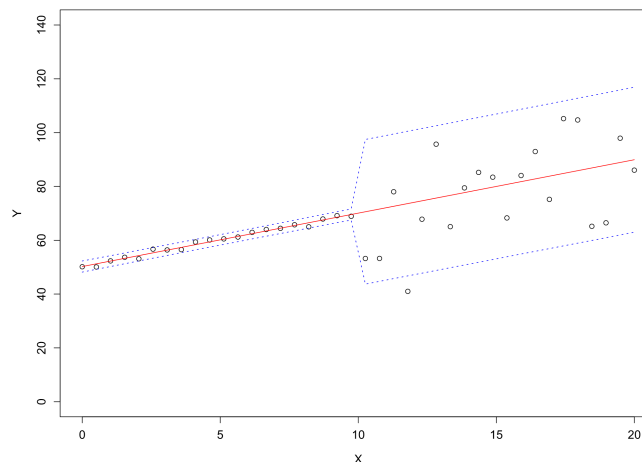


Μέθοδος εκτίμησης: GLS

Δεδομένα, Πραγματική & Εκτιμώμενη Γραμμή



Δεδομένα, Πρόβλεψη & 95% Δ.Π. για Y

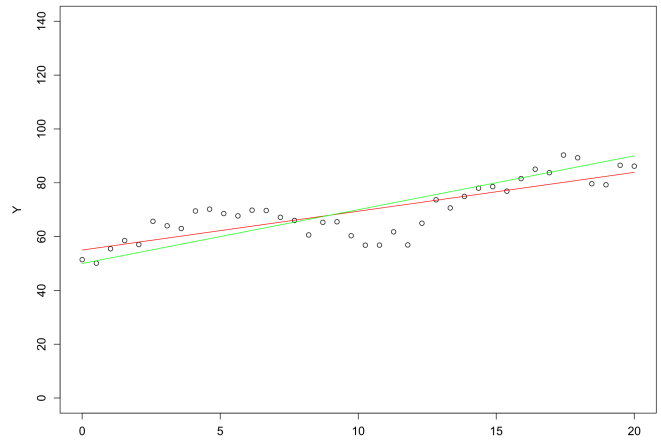


π.χ. Υπόδειγμα παλινδρόμησης:  $Y_t = 50 + 2X_t + u_t$ ,  $t = 1, \dots, 40$

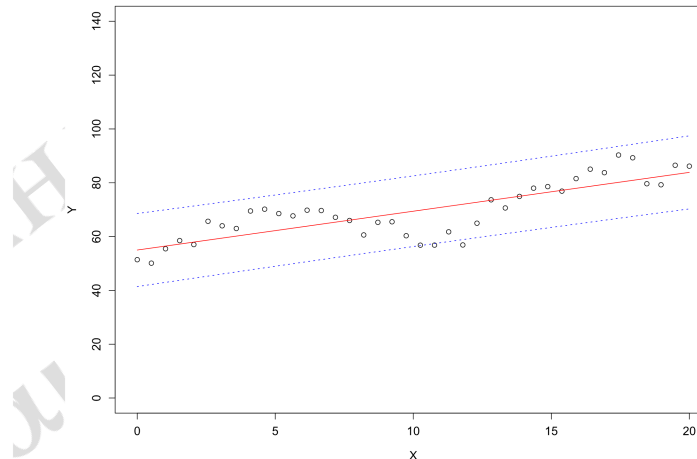
με  $V(u_t) = 100$  και  $\text{Corr}(u_t, u_s) = 0.9^{|t-s|}$ ,  $t, s = 1, \dots, 40$ ,  $t \neq s$

### Μέθοδος εκτίμησης: OLS

Δεδομένα, Πραγματική & Εκτιμώμενη Γραμμή

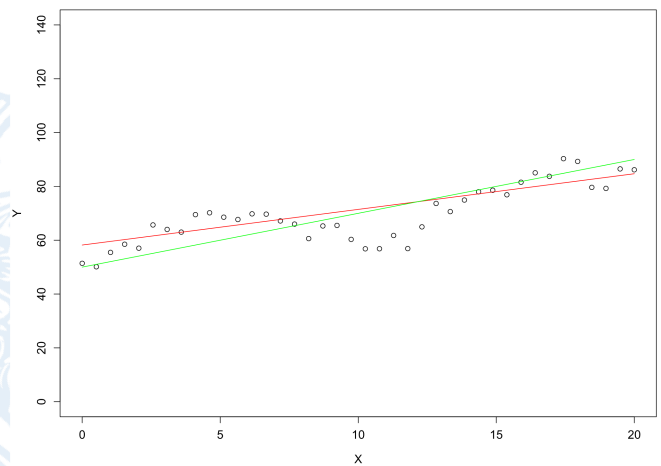


Δεδομένα, Πρόβλεψη & 95% Δ.Π. για Y

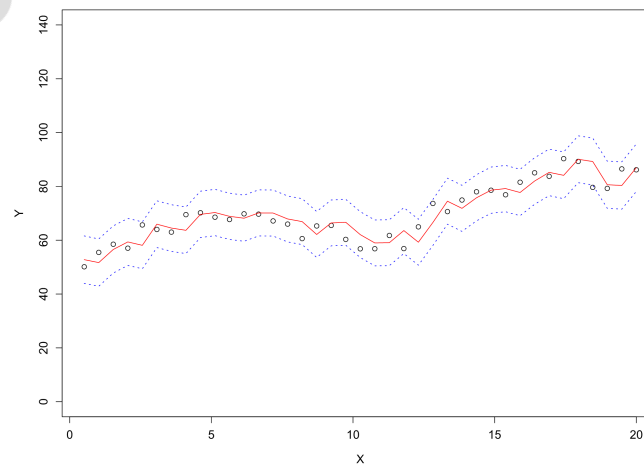


### Μέθοδος εκτίμησης: GLS

Δεδομένα, Πραγματική & Εκτιμώμενη Γραμμή



Δεδομένα, Πρόβλεψη & 95% Δ.Π. για Y

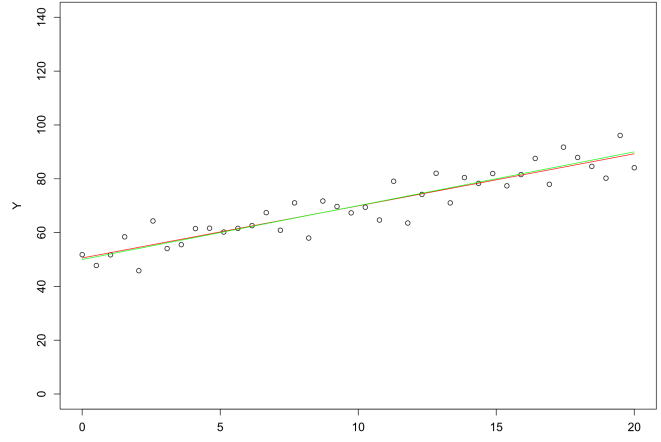


π.χ. Υπόδειγμα παλινδρόμησης:  $Y_t = 50 + 2X_t + u_t$ ,  $t = 1, \dots, 40$

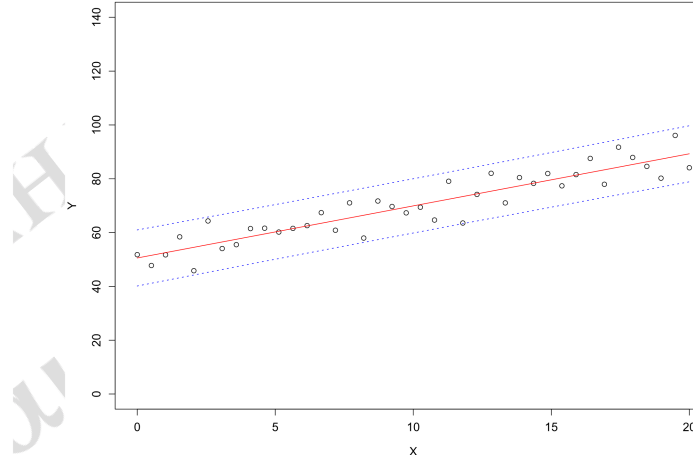
με  $V(u_t) = 100$  και  $\text{Corr}(u_t, u_s) = (-0.9)^{|t-s|}$ ,  $t, s = 1, \dots, 40$ ,  $t \neq s$

### Μέθοδος εκτίμησης: OLS

Δεδομένα, Πραγματική & Εκτιμώμενη Γραμμή

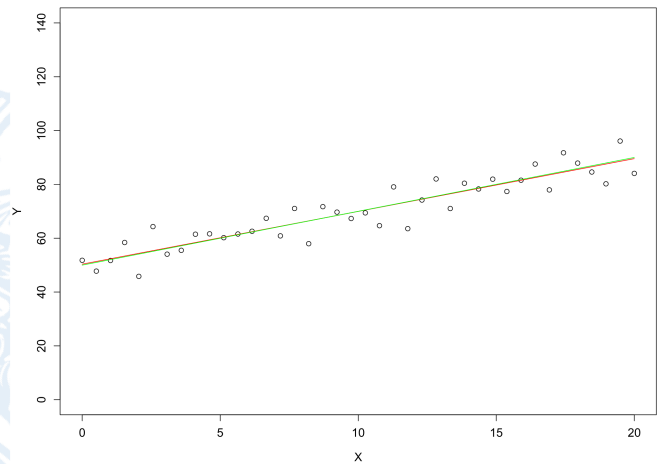


Δεδομένα, Πρόβλεψη & 95% Δ.Π. για Y



### Μέθοδος εκτίμησης: GLS

Δεδομένα, Πραγματική & Εκτιμώμενη Γραμμή



Δεδομένα, Πρόβλεψη & 95% Δ.Π. για Y

